

## تعیین دمای بهینه عملیات حرارتی جهت دستیابی به پوشش نانوساختار هیدروکسی آپاتیت

رضوان آذری<sup>\*</sup>، علیرضا خاوندی<sup>\*</sup>، حمیدرضا رضایی

دانشگاه علم و صنعت، دانشکده مواد و متالورژی

*khavandi@iust.ac.ir*

### چکیده:

پوشش هیدروکسی آپاتیت (HA) با اندازه ذرات نانومتری از طریق افزایش القا و هدایت استخوان‌سازی در اطراف کاشتی‌های استخوانی، زمان تثبیت آن‌ها را در بافت میزبان کاهش می‌دهد. در این پژوهش با استفاده از روش سل-تل اقدام به ایجاد پوشش HA بر سطح آلیاژ Ti-6Al-4V گردید. با انجام آزمون‌های FTIR و STA بر روی پودر حاصل، سیکل عملیات حرارتی مناسب جهت دستیابی به پوشش HA نانوبولوری با خلوص و پایداری بالا تعیین گردید. تصاویر SEM و AFM نشان دادند که پوشش به دست آمده دارای مورفوولوژی گل کلمی با ابعاد نانومتری می‌باشد. آزمون XRF نشان داد، سیکل عملیات حرارتی انتخابی باعث دستیابی به HA با خلوص بالا و نسبت مولی Ca/P نزدیک به مقدار استوکیومتریک ۱/۶۷ گردید.

### اطلاعات مقاله:

دریافت: ۸ مهر ۱۳۹۷

پذیرش: ۲۱ آبان ۱۳۹۷

### کلید واژه:

پوشش، هیدروکسی آپاتیت (HA)، نانوساختار، سل-تل، عملیات حرارتی.

مختلف، از HA به شکل‌های مختلفی همچون ذرات (توپر، توخالی و متخلخل)، قطعات یکپارچه و پوشش‌ها استفاده شده است. به دلیل محدودیت‌های موجود در خواص مکانیکی، امکان استفاده مستقیم از HA در ساخت کاشتی‌های تحت بارگذاری وجود ندارد. برای حل این مشکل کاشتی‌های فلزی را با HA پوشش می‌دهند. به این ترتیب زیستفعالی HA و خواص مکانیکی خوب زیرلایه فلزی باهم ترکیب می‌شود [۱، ۲].

استفاده از HA سنتزی به صورت پوشش در گرو بهینه‌سازی خواص زیستی، ساختاری و مکانیکی آن بر مبنای

### ۱- مقدمه

هیدروکسی آپاتیت (HA) با فرمول شیمیایی  $\text{Ca}_{10}(\text{PO}_4)_6(\text{OH})_2$ ، ماده‌ای کلسیم فسفاتی است که ترکیب شیمیایی و ساختار بلوری آن بیشترین شباهت را به جزء معدنی استخوان و دندان دارد. بر مبنای مطالعات گسترده با پیشینه‌های قابل توجه، به دلیل داشتن خواصی نظیر زیستفعالی و هدایت استخوانی، HA گزینه بسیار مناسبی برای بازسازی و جایگزینی استخوان در درمان‌های ارتوپدی و دندانی است. بهمنظور برطرف کردن نیازمندی‌های بالینی



یافت. روش سل-ژل یکی از مناسب‌ترین روش‌ها جهت تولید لایه‌های نازک و پوشش‌ها است. دیگر روش‌های پوشش‌دهی اغلب نیازمند دمای نسبتاً بالایی هستند، که باعث شکل‌گیری پوشش‌هایی ضخیم با یکپارچگی ساختاری کم می‌شوند. دمای پایین سنتز در این روش برای زیرلایه فلزی نیز مزایایی خواهد داشت و از تخریب مکانیکی و تغییر فازی زیرلایه اجتناب خواهد شد. در مقایسه با دیگر فرآیندهای مرسوم پوشش‌دهی همچون تبخیر یا پاشش، روش سل-ژل نیازمند تجهیزاتی به مراتب کمتر بوده و اساساً کم هزینه‌تر می‌باشد. با این وجود، مهم‌ترین مزیت روش سل-ژل در مقایسه با سایر روش‌های پوشش‌دهی قابلیت این روش در کنترل دقیق ریزساختار لایه نازک رسوب داده شده است<sup>[۴, ۵]</sup>.

برخلاف سایر روش‌های رسوب‌دهی که عموماً پوشش‌هایی با مشخصه‌های میکرومتری تولید می‌نمایند، با روش سل-ژل می‌توان به پوشش‌هایی با مشخصه‌های نانومتری دست یافت. گروه‌های تحقیقاتی متعدد ثابت نموده‌اند در کاربردهای زیستی ویژگی‌های سطحی نانومتری مطلوب‌تر هستند. برهم‌کنش‌های نانو بعدی برای سلول‌ها در سازمان‌دهی ماتریس خارج سلولی، تشخیص مولکول‌های زیستی و غیره از اهمیت فراوانی برخوردار است. بنابراین مهندسی سطوح با ویژگی‌های نانو بعدی راه کاری مؤثر در جهت افزایش القا و هدایت استخوان‌سازی و در نتیجه تسريع تثبیت بیولوژیکی کاشتنی پوشش داده شده با HA می‌باشد<sup>[۱۰, ۱۱]</sup>.

هدف از انجام این پژوهه تعیین سیکل عملیات حرارتی مناسب، و دستیابی به پوشش HA با خواص ساختاری بهینه می‌باشد. از آزمون‌های XRD و FTIR و STA جهت تعیین سیکل

دستورالعمل‌ها و استانداردهای تعریف‌شده می‌باشد. برخی الزامات تعیین‌شده برای پوشش HA توسط FDA<sup>۱</sup> و ISO<sup>۲</sup> در جدول ۱ آمده‌است<sup>[۳]</sup>.

جدول ۱ - الزامات پوشش HA<sup>[۳]</sup>

پارامتر	مقدار
ضخامت	غیرمشخص
Ca/P	نسبت ۱/۶۷-۱/۷۶
خلوص فازی	حداقل٪ ۹۵
بلورینگی	حداقل٪ ۶۲
استحکام کششی	< ۵۰/۸ MPa
استحکام برشی	< ۲۲ MPa
چگالی	۲/۹۸ g/cm <sup>۳</sup>
فلزات سنگین	< ۵۰ ppm

سیکل عملیات حرارتی انتخابی برای پوشش، ابزاری قدرتمند جهت بهینه‌سازی خواص مختلف پوشش محسوب می‌گردد. زیرا مستقیماً بر ریزساختار و ترکیب فازی پوشش اثر می‌گذارد، که این موارد به نوبه خود اثرگذاری مستقیم بر عملکرد پوشش تحت شرایط فیزیولوژیک خواهند داشت<sup>[۴]</sup>. گیو<sup>[۵]</sup>، تیکالچک<sup>[۶]</sup>، ویجایلاکشمی<sup>[۷]</sup> و پوینرن<sup>[۸]</sup> از جمله محققانی هستند که اثرگذاری مستقیم دمای کلسیناسیون را بر درصد بلورینگی، خلوص فازی، اندازه و شکل ذات HA نشان داده‌اند.

فرآیند تولید پوشش بهنحو چشمگیری بر خواص پوشش اثرگذار است. زیرا ریزساختار در خواص ماده انعکاس خواهد

<sup>۱</sup> Food and drug administration

<sup>۲</sup> International standard organization

<sup>۳</sup> Guo

<sup>۴</sup> Tkalcec

<sup>۵</sup> Vijayalakshmi

<sup>۶</sup> Poinern



به عنوان عامل پراکنده‌ساز به محلول اضافه شد. در ادامه محلول به مدت ۱ ساعت در همان دما همراه شد. سپس به مدت ۲۴ ساعت در حالت ایستا و در دمای محیط پیرسازی شد. مقداری از سل جهت پوشش دهی کنار گذاشته شد و مابقی برای تهیه پودر HA از کاغذ صافی عبور داده شد. مقداری از پودر به سه قسمت تقسیم شده و در دماهای ۲۰۰، ۴۰۰ و ۶۰۰ °C در کوره الکتریکی و تحت اتمسفر هوا حرارت داده شد. آزمون‌های طیف‌سنجی مادون قرمز تبدیل فوریه (FTIR, SHIMADZU, 8400S, Japan) در محدوده XRD, BOUREVESTNIK, DRON-8, Russia عدد موج  $4000 - 400 \text{ cm}^{-1}$  و پراش اشعه ایکس ( بر روی هریک از نمونه‌های پودری صورت گرفت. اشعه ایکس توسط لامپ Cu-K $\alpha$  با طول موج  $1/54.06 \text{ \AA}$  تولید شد. اندازه بلورک‌ها از طریق رابطه شر<sup>۲</sup> محاسبه گردید:

$$L_C = k\lambda/\beta \cos\theta \quad (1)$$

در این رابطه  $K$ ، ضریب شکل می‌باشد و مقدار آن  $0.9$  است.  $\lambda$  طول موج پرتو X بر حسب نانومتر است.  $\beta$ ، پهنه‌ای کامل در نیمه ارتفاع پیک تیز (FWHM<sup>۳</sup>) بر حسب رادیان و  $\theta$  زاویه تفرق است.

آنالیز حرارتی هم‌زمان ( STA, BAHR, STA 504, USA ) به منظور بررسی رفتار حرارتی و پایداری دمایی پودر HA بر روی پودر بدست آمده از سل HA صورت گرفت. این آزمون در بازه دمایی  $1200 - 25$  °C، با نرخ  $10^{\circ}\text{C}/\text{min}$  و در اتمسفر هوا انجام شد.

با توجه به نتایج آزمون‌های FTIR, XRD و STA و با در

عملیات حرارتی مناسب استفاده گردید. به منظور اطمینان از دست‌یابی به اهداف پژوهه، تصاویر SEM و AFM و آزمون XRF از پوشش HA عملیات حرارتی شده در سیکل انتخابی تهیه گردید. زیرلايه  $\text{TiO}_2/\text{Ti}-6\text{Al}-4\text{V}$  بود که پوشش HA به روش سل – ژل چرخشی بر روی سطح آن نشانده شد.

## ۲- فعالیت‌های تجربی

جهت تهیه سل HA، کلسیم نیترات تتراهیدرات با فرمول  $\text{Ca}(\text{NO}_3)_2 \cdot 4\text{H}_2\text{O}$  و دی‌آمونیوم هیدروژن فسفات با فرمول  $(\text{NH}_4)_2\text{HPO}_4$  به عنوان پیش‌ماده‌های کلسیمی و فسفاتی از شرکت مرک<sup>۱</sup> تهیه شد. به ترتیب، با حل کردن  $0/091$  و  $0/091$  مول از هر یک از نمک‌های نیتراتی و فسفاتی در  $50 \text{ ml}$  آب دو بار تقطیر، محلول‌های نیتراتی و فسفاتی در ظروف مجزا تهیه شدند. مقدار مولی هریک از اجزا به‌نحوی انتخاب شد که نسبت  $\text{Ca}/\text{P} = 1/67$  حفظ گردد. سپس طی عملیات تیتراسیون با سرعت بسیار کم، محلول نیتراتی به محلول فسفاتی در حال هم‌خوردن بر روی همزن مغناطیسی افزوده شد. در طول عملیات دمای همزن بر روی  $40^{\circ}\text{C}$  ثابت نگه‌داشته شد. ضمن این‌که pH محلول توسط آمونیاک دائمًا بالای ۹ نگه‌داشته شد. استفاده از آمونیاک با هدف پیشبرد سریع تر فرآیند پلیمریزاسیون و کوتاه نمودن زمان پیرسازی سل صورت گرفت. از طرفی در مقالات گزارش شده [۱۲, ۱۳] که حضور عوامل اکسیدکننده‌ای نظیر آنیون‌های نیتراتی در ترکیب سل به تسهیل تجزیه مواد آلی کمک خواهد کرد. در نتیجه می‌توان پوشش را در دماهای پائین‌تر عملیات حرارتی نمود. در انتهای فرآیند تیتراسیون  $6/0 \text{ ml}$  آمونیوم پلی‌اکریلات

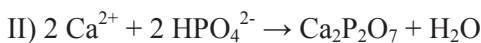
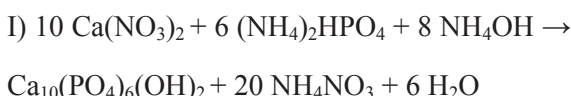
<sup>2</sup> Scherrer equation

<sup>3</sup> Full Width at Half Maximum

<sup>1</sup> Merck



دیفسفات ( $\text{Ca}_2\text{P}_2\text{O}_7$ ) نیز شناسایی شده‌اند. آمونیوم نیترات محصول جانبی برهمنکش مواد اولیه سازنده سل می‌باشد، که در دماهای بالاتر امکان تجزیه و خروج آن از پوشش فراهم می‌شود. کلسیم دیفسفات که بر اثر واکنش تراکم یون فسفات در حضور یون کلسیم ایجاد می‌شود، در دماهای بالاتر قابلیت تبلور و تبدیل شدن به HA را پیدا می‌کند. بنابراین HA در این دما دارای خلوص کافی نمی‌باشد. واکنش آن‌ها در زیر آمده است:



در دماهای  $400^{\circ}\text{C}$  و  $600^{\circ}\text{C}$  تمامی پیک‌های شناسایی شده منطبق بر فاز HA هستند. در این دماها پیک‌های منطبق بر زوایای  $25/90^{\circ}$ ,  $33^{\circ}$  و  $34^{\circ}$  که پیک‌های شاخصی در شناسایی HA محسوب می‌شوند، با شدت بالایی شناسایی شده‌اند.

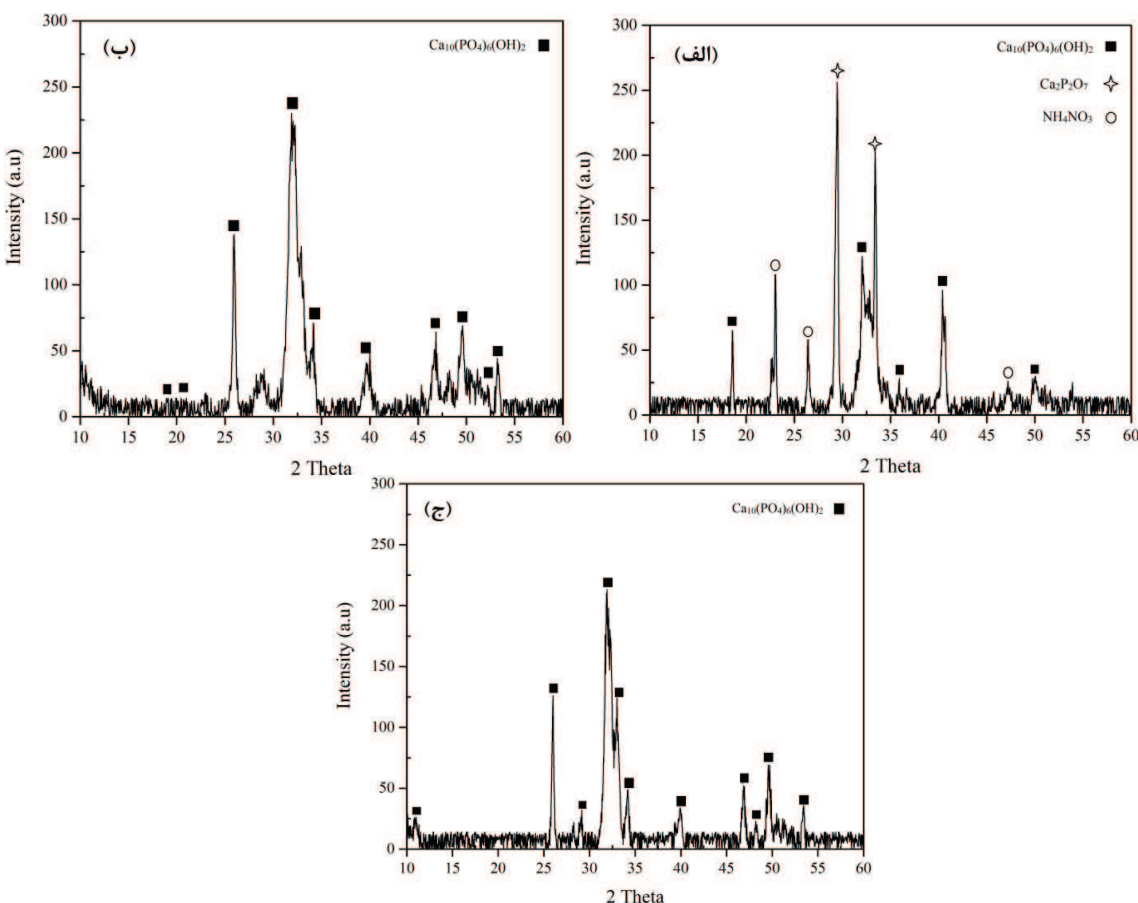
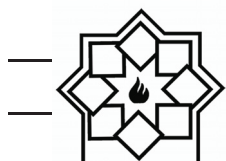
شناسایی پیک‌ها با به کارگیری اطلاعات کارت استاندارد شماره ۱۲۳۴-۹۰۰-۹۶ و استفاده از نرم افزار Xpert HighScore Plus Ver.3 صورت پذیرفت. اندازه بلورک‌ها در دماهای مختلف با به کارگیری اطلاعات پیک‌های شناسایی شده فاز HA در رابطه شرمناسبه شده و در جدول ۲ ارائه گردیده است. با مقایسه اندازه بلورک‌ها در دماهای مختلف مشاهده می‌گردد، رویه کلی به این صورت است که با افزایش دما اندازه بلورک‌ها افزایش می‌یابد. افزایش دما با تسريع واکنش‌های نفوذی موجب افزایش اندازه بلورک‌ها می‌شود. با این حال اندازه بلورک‌ها در تمامی دماها در مقیاس نانو قرار دارد.

نظر گرفتن سایر الزامات مربوط به زیرلايه و پوشش، سیکل عملیات حرارتی بهینه برای پوشش HA تعیین شد. زیرلايه‌ها ورق‌هایی با ابعاد  $10 \times 10 \times 1 \text{ mm}$  از جنس آلیاژ (TIMET, USA) Ti-6Al-4V بودند که از قبل لایه‌ای از  $\text{TiO}_2$  بر سطح آن شکل گرفته بود. زیرلايه‌ها با استفاده از دستگاه پوشش‌دهی چرخشی (VMC409, I.R.Iran) با سرعت چرخش  $2000 \text{ rpm}$  (Nano Tajhiz Pasargad, و زمان پوشش‌دهی  $30$  ثانیه با سل HA پوشش داده شدند. مورفولوژی و ریزساختار سطح پوشش پس از عملیات حرارتی در سیکل انتخابی بهینه، به وسیله تصاویر SEM-EDS, TESCAN, (Czech Republic) مورد بررسی قرار گرفت. توپوگرافی و زیری سطح پوشش به وسیله تصاویر میکروسکوپ نیروی (AFM, Bruker Hysitron Tribo Scope, USA) اتمی (Atm) مورد بررسی قرار گرفت.

بخشی از پودر HA عملیات حرارتی شده در سیکل انتخابی، تحت آزمون طیفسنجی فلورسانس پرتوایکس (XRF, Netherlands Philips) قرار گرفت، آنالیز عنصری آن به صورت کمی بررسی گردید و نسبت مولی Ca/P آن به طور دقیق محاسبه شده و با مقدار استوکیومتریک  $1/67$  مقایسه گردید.

### ۳- نتایج و بحث

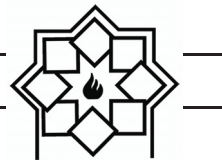
الگوی XRD پودرهای سل HA که در دماهای  $200^{\circ}\text{C}$  و  $600^{\circ}\text{C}$  به مدت  $15$  دقیقه در اتمسفره هوای عملیات حرارتی شده‌اند، در شکل ۱ مشاهده می‌گردد. در دمای  $200^{\circ}\text{C}$  پیک‌های شناسایی شده کاملاً منطبق بر فاز HA نبوده و پیک‌های مربوط به آمونیوم نیترات ( $\text{NH}_4\text{NO}_3$ ) و کلسیم



شکل ۱- الگوهای XRD پودر سل HA عملیات حرارتی شده در (الف) ۲۰۰ °C (ب) ۴۰۰ °C و (ج) ۶۰۰ °C

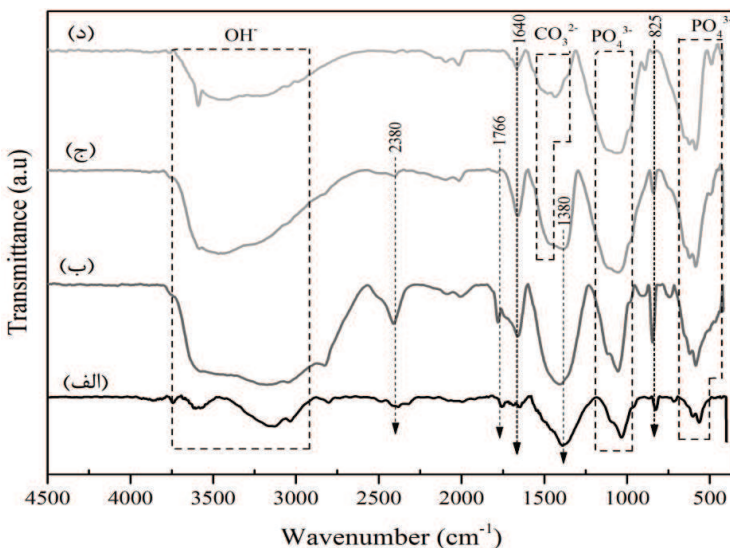
جدول ۲- مقادیر پارامتر FWHM و اندازه بلورک‌ها محاسبه شده برای پیک‌های شناسایی شده HA در دماهای ۲۰۰، ۴۰۰ و ۶۰۰ °C

600 °C		400 °C		200 °C		2θ(deg)	(hkl)
Crystallite size (nm)	FWHM (deg)	Crystallite size (nm)	FWHM (deg)	Crystallite size (nm)	FWHM (deg)		
19.23	0.4723	-	-	-	-	10.8	(010)
-	-	48.85	0.1968	40.68	0.2322	18.8	(110)
-	-	15.57	0.5904	-	-	22.8	(111)
49.38	0.1968	31.89	0.2952	-	-	25.9	(002)
30	0.3149	-	-	-	-	29	(120)
30.20	0.3149	11.87	0.7872	27.21	0.3483	32.2	(112)
24.04	0.3936	-	-	-	-	33	(030)
30.37	0.3149	32.49	0.2952	-	-	34	(202)
-	-	-	-	27.48	0.3483	35.5	(031)
24.52	0.3936	9.7	0.9840	-	-	39.8	(310)
-	-	-	-	20.75	0.4644	40.5	(221)
20.85	0.4723	12.43	0.7872	-	-	46.7	(222)
31.82	0.3149	-	-	-	-	48.2	(312)
25.40	0.3936	25.40	0.3936	21.48	0.4644	49.5	(123)
69.78	0.1574	25.8	0.3936	-	-	53.3	(004)
-	-	34.90	0.2952	-	-	54.4	(104)



می‌شوند. با افزایش دما شدت عبور و پهنهای آن‌ها بیشتر می‌شود. این نتیجه به معنای حضور HA در محصول اولیه و افزایش درصد HA با افزایش دمای عملیات حرارتی می‌باشد. با شروع حرارتدهی و از دمای  $200^{\circ}\text{C}$  به بعد پیک‌های متناظر با حالت کششی مقارن یون  $\text{PO}_4^{3-}$  در محدوده  $440\text{--}475\text{cm}^{-1}$  نیز به پیک‌های مشخصه یون  $\text{PO}_4^{3-}$  افزوده شده و با افزایش دما شدت آن‌ها افزایش می‌یابد[۵].

طیف‌های FTIR پودر سل HA قبل و بعد از عملیات حرارتی در دماهای  $200^{\circ}\text{C}$  و  $400^{\circ}\text{C}$  در شکل ۲ آورده شده است. به طور کلی تشخیص شکل‌گیری HA از روی طیف FTIR با مشاهده پیک‌های جذب یون فسفات  $(\text{PO}_4^{3-})$  و هیدروکسید  $(\text{OH}^-)$  امکان‌پذیر است[۵]. پیک‌های مربوط به حالت‌های کششی و خمشی نامقaran یون  $\text{PO}_4^{3-}$  در تمام طیف‌ها و به ترتیب در محدوده عدد موج‌های  $520\text{--}660\text{cm}^{-1}$  و  $976\text{--}1190\text{cm}^{-1}$  دیده



شکل ۲- طیف‌های FTIR پودر سل HA

(الف) قبل و بعد از عملیات حرارتی در دماهای (ب)  $200^{\circ}\text{C}$  (ج)  $400^{\circ}\text{C}$  و (د)  $600^{\circ}\text{C}$ 

عملیات حرارتی این رطوبت به تدریج حذف شده و از سوی دیگر با تکمیل شدن واکنش‌ها مجدداً رطوبتی وارد سیستم نمی‌شود[۴-۶، ۸، ۱۵، ۱۶].

پیک‌های مربوط به یون  $\text{NO}_3^-$  در عدد موج‌های  $2380\text{cm}^{-1}$ ،  $1766\text{cm}^{-1}$ ،  $1380\text{cm}^{-1}$  و  $825\text{cm}^{-1}$  ظاهر شده‌اند. این پیک‌ها ناشی از کامل نشدن واکنش بین پیش‌سازهای کلسیم و فسفات می‌باشند[۱۴]. شدت این پیک‌ها با آغاز حرارتدهی و تسریع واکنش‌ها افزایش داشته

پیک‌های پهن محدوده  $3750\text{--}2850\text{cm}^{-1}$  و پیک مشاهده شده در حوالی  $1640\text{cm}^{-1}$  مربوط به رطوبت جذب شده هستند. شدت این پیک‌ها با آغاز حرارتی‌دهی افزایش و در ادامه با افزایش دما کاهش می‌یابد. افزایش اولیه را می‌توان به تکمیل شدن واکنش‌ها بر اثر حرارتدهی و تولید HA رطوبت (رجوع کنید به واکنش‌های I و II) نسبت داد. این خاصیت را دارد که رطوبت را جذب نموده و در حفرات خود به دام می‌اندازد. در حالی که در ادامه و با افزایش دمای



اختلافی که در توالی دمایی وقایع در مقایسه با نتایج XRD و FTIR وجود دارد، بهدلیل نرخ حرارتدهی متفاوتی است که نمونه در آنالیز حرارتی در مقایسه با نمونه‌های عملیات حرارتی شده در کوره تجربه کرده است. نرخ افزایش دمای نسبتاً زیاد ( $10^{\circ}\text{C}/\text{min}$ ) در آنالیز حرارتی باعث وقوع استحاله‌های مربوطه در دماهای پایین‌تر شده است.

دمای عملیات حرارتی پوشش HA باید در حداقل مقدار خود انتخاب گردد تا کیفیت کافی برای لایه HA از نظر بلورینگی، یکپارچگی و چسبندگی به زیرلایه فراهم شود. با توجه به نتایج به دست آمده از آزمون‌های XRD، FTIR و STA و با هدف دستیابی به٪  $100$  فاز HA پایدار و در عین حال جلوگیری از رشد بلورک‌ها و لایه اکسیدی  $\text{TiO}_2$  و جلوگیری از شکل‌گیری فازهای ثانویه‌ای چون پروسکایت  $(\text{CaTiO}_3)$  در حد واسط پوشش HA و لایه  $\text{TiO}_2$  عملیات حرارتی پوشش HA در دمای  $45^{\circ}\text{C}$  به مدت  $15$  دقیقه و در اتمسفرهای صورت پذیرفت.

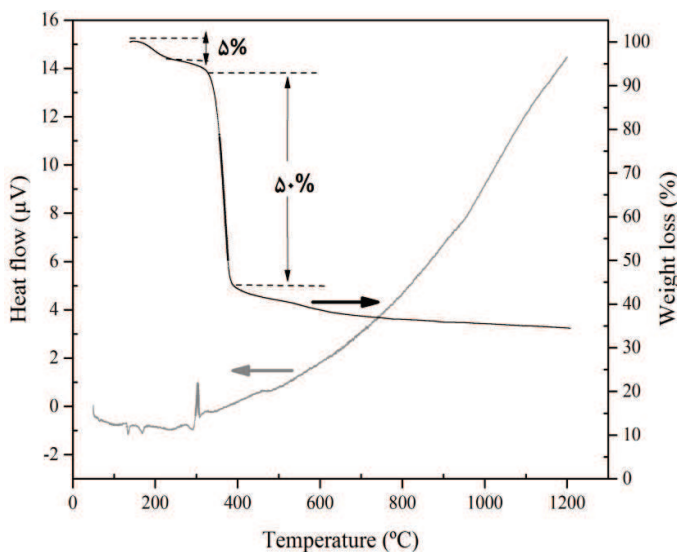
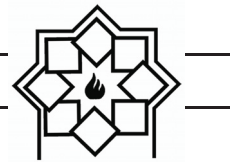
تصاویر SEM از ریزساختار سطح پوشش HA عملیات حرارتی شده در سیکل انتخابی، در شکل ۴ دیده می‌شود. تصویر SEM از ریزساختار پوشش HA در بزرگنمایی کم بیان گر ساختاری نسبتاً چگال و مورفلوژی زبر برای پوشش HA می‌باشد. بزرگنمایی‌های بالاتر از ریزساختار پوشش HA می‌باشد. HA دارای مورفلوژی گل کلمی است. ضخامت ورقه‌های آن دارای ابعاد نانومتری با میانگین اندازه  $45\text{ nm}$  می‌باشد. این مورفلوژی سطح مؤثر بالایی برای پوشش HA ایجاد می‌نماید. به طور کلی HA با مشخصات نانومتری زیست‌فعالی بهتری دارد که موجب افزایش راندمان بیولوژیکی پوشش حاصل از آن می‌شود.<sup>[۱۸]</sup>

ولی با افزایش بیشتر دما افت پیدا می‌کند و در دمای  $600^{\circ}\text{C}$  تقریباً ناپدید می‌شوند.

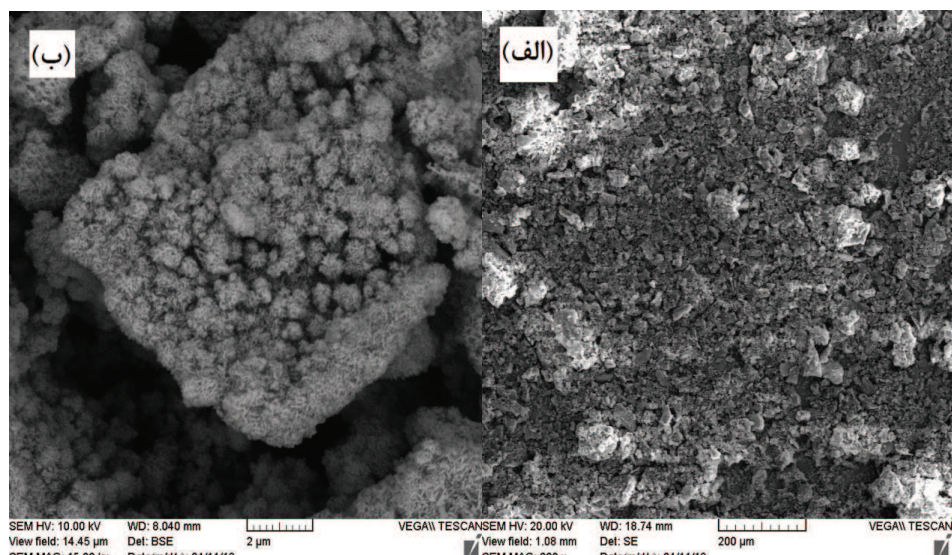
پیک‌های مربوط به یون  $\text{CO}_3^{2-}$  از دمای  $400^{\circ}\text{C}$  در محدوده  $1400-1470\text{ cm}^{-1}$  ظاهر می‌شوند. الحاق یون کربنات به ساختار HA پدیده‌ای متداول حین شکل‌گیری آپاتیت بیولوژیکی در بدن انسان است. در HA سنتزی این جانشینی از طریق انحلال و برهم‌کنش  $\text{CO}_2$  اتمسفر با HA رخ می‌دهد. آپاتیت کربناته قادر است با اکسیدهای سطحی زیرلایه پیوند برقرار نموده و به بهبود استحکام چسبندگی پوشش به زیرلایه کمک نماید. از نقطه نظر بیولوژیکی حضور مقدار کمی کربنات در ساختار HA بهدلیل ایجاد تشابه با ماده معدنی استخوان طبیعی به عنوان یک مزیت محسوب می‌شود.<sup>[۱۴, ۱۶]</sup>

نتیجه آنالیز حرارتی هم‌زمان پودر سل HA در قالب منحنی‌های DTA/TGA در شکل ۳ آورده شده است. با آغاز حرارتدهی آب جذب شده و در ادامه آب موجود در ساختار شبکه تجزیه می‌شود. پیک‌های گرمایگر منحنی DTA در  $135^{\circ}\text{C}$  و  $170^{\circ}\text{C}$  در ارتباط با این وقایع است. که مطابق با کاهش وزن٪  $5$  در منحنی TGA می‌باشد. احتراق اجزای آلی و نیتراتی با ظهور پیکی نسبتاً تیز در  $200^{\circ}\text{C}$ ، قابل تشخیص است. این پیک معادل افت وزن٪  $50$  در محصول نهایی می‌باشد. با افزایش بیشتر دما شاهد پیک HA دیگری نیستیم، که نشان‌دهنده پایداری حرارتی بالای HA می‌باشد. بزی<sup>۱</sup> و همکارانش<sup>[۱۷]</sup> که از روشی مشابه جهت سنتز HA استفاده کرده‌بودند، پایداری و عدم تجزیه HA را تا دمای  $1250^{\circ}\text{C}$  گزارش کردند.

<sup>۱</sup> Bezzi



شکل ۳- منحنی STA (DTA/TGA) پودر به دست آمده از سل HA

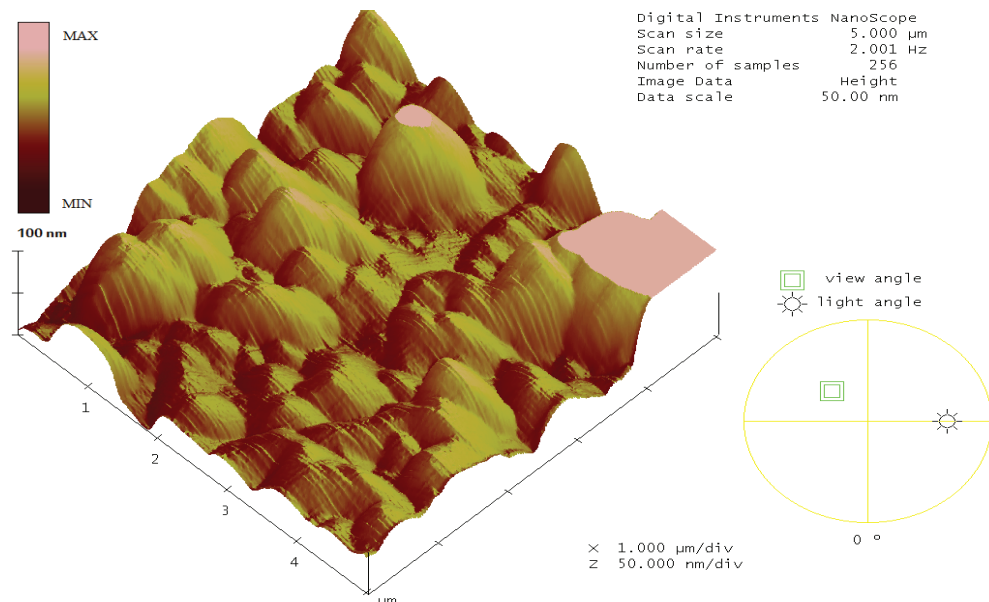
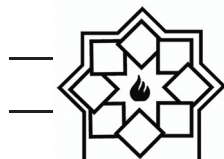


شکل ۴- تصاویر SEM از (الف) ریزساختار سطح و (ب) مورفولوژی پوشش HA

زبر چسبندگی، تکثیر و تمایز سلولی بیشتری را در مقایسه با سطوح ماشین کاری شده یا صاف از خود نشان می‌دهند. مطالعات درون تنی<sup>۱</sup> نیز افزایش تماس استخوان با کاشتی و حجم استخوان بیشتر را در اطراف کاشتی با سطح زبر در مقایسه با سطوح صاف یا ماشین کاری شده نشان داده‌اند [۱۹].

<sup>1</sup> In vivo

تصویر AFM ریزساختار سطح پوشش HA در شکل ۵ آورده شده است. زبری بالای سطح پوشش به خوبی در تصویر مشخص است. افزایش زبری سطح باعث افزایش چگالی بار الکترواستاتیک موضعی، انرژی چسبندگی و ایجاد خاصیت فوق آب‌دوستی می‌گردد. تعداد قابل ملاحظه‌ای از مطالعات برون تنی که در آن‌ها از کشت سلولی استفاده شده، نشان داده‌اند که سطوح



شکل ۵- تصویر AFM از ریزساختار سطح پوشش HA

جزئی شناسایی شده‌اند. شناسایی نشدن عناصر متفرقه دیگر نشان از خلوص بالای HA تولید شده دارد. غلظت کلسیم و  $\text{wt\%}$  ۵۶/۱۷۶ به ترتیب  $\text{wt\%}$  ۵۶/۴۳ و  $\text{wt\%}$  ۳۸/۳۷ می‌باشد. هابرکو<sup>۱</sup> و همکارانش [۲۰] مقادیر ترکیبات اکسید کلسیم و فسفر را برای HA طبیعی استخراج شده از استخوان گوساله به ترتیب  $\text{wt\%}$  ۵۲/۲۵ و  $\text{wt\%}$  ۵۲/۲۵ می‌دانند. همان‌طور که ملاحظه می‌شود، مقادیر گزارش کردند. همچنان که ملاحظه می‌شود، مقادیر ذکر شده برای HA طبیعی می‌باشد.

همچنین نسبت مولی Ca/P با توجه به نتایج بدست آمده ۱/۵۱ محاسبه شد، که نزدیک به مقدار استوکیومتریک این نسبت در HA یعنی ۱/۶۷ می‌باشد.

<sup>1</sup> Haberkopf

زبری پوشش از فاکتورهای مهمی است که بر بازه زمانی و استحکام ثبیت کاشتنی پوشش داده شده اثر می‌گذارد. زبری میانگین ( $R_a$ ) به عنوان پارامتری جهت سنجش زبری سطح به کار می‌رود. مقدار  $R_a$  برای پوشش HA به میزان ۱۶/۵۲ نانومتر محاسبه شد. گروه‌های تحقیقاتی متعدد ثابت کرده‌اند ویژگی‌های سطحی نانومتری بسیار مطلوب هستند [۱۰، ۱۱]. زیرا اثر مثبتی بر پاسخ سلول‌های استخوانی دارد. برهم‌کنش‌های نانوبعدی در تشخیص مولکول‌های زیستی، سازمان‌دهی ماتریس خارج سلولی، ساختار سلسله مراتبی بافت‌ها و غیره برای سلول‌ها اهمیت فراوانی دارد. در نتیجه مهندسی سطوح با ویژگی‌های نانوبعدی به افزایش القا و هدایت استخوان‌سازی و یکپارچگی با استخوان کمک می‌کند. نتیجه XRF پودر سل HA که تحت سیکل عملیات حرارتی انتخابی قرار گرفت در جدول ۳ آورده شده است. همان‌طور که ملاحظه می‌شود، کلسیم و فسفر عناصر اصلی شناسایی شده هستند. گوگرد و منیزیم نیز به عنوان عناصر



عملیات حرارتی پوشش HA در دمای  $450^{\circ}\text{C}$  به مدت ۱۵ دقیقه در اتمسفر هوا، سیکلی مناسب جهت دستیابی به پوششی با مشخصه‌های نانو بعدی و در نتیجه عملکرد زیستی بهتر می‌باشد.

## مراجع

- [1] S. Zhang, "Biological and Biomedical Coatings Handbook: Applications", CRC Press, 2016
- [2] E. Mohseni, E. Zalnezhad, and A.R. Bushroa, "Comparative investigation on the adhesion of hydroxyapatite coating on Ti-6Al-4V implant: A review paper", International Journal of Adhesion and Adhesives, vol. 48, pp. 238-257, 2014
- [3] W. S. W. Harun, R. I. M. Asri, J. Alias, F.H. Zulkifli, K. Kadrigama, S.A.C. Ghani, and J.H.M. Shariffuddin, "A comprehensive review of hydroxyapatite-based coatings adhesion on metallic biomaterials", Ceramics International, 2017
- [4] C. C. Berndt, Md. F. Hasan, U. Tietz, and K.-P. Schmitz, "A review of hydroxyapatite coatings manufactured by thermal spray", in Advances in calcium phosphate biomaterials, Springer, pp. 267-329, 2014
- [5] X. Guo, H. Yan, S. Zhao, L. Zhang, Y. Li, and X. Liang, "Effect of calcining temperature on particle size of hydroxyapatite synthesized by solid-state reaction at room temperature", Advanced Powder Technology, vol. 24, pp. 1034-1038, 2013
- [6] E. Tkalcic, M. Sauer, R. Nonninger, and H. Schmidt, "Sol-gel-derived hydroxyapatite powders and coatings", Journal of materials science, vol 36, pp. 5253-5263, 2001
- [7] U. Anjaneyulu, D.K. Pattanayak, and U. Vijayalakshmi, "The facile and phase pure evaluations of nano Hydroxyapite powder by sol-gel method", Int. J.

جدول ۳- آنالیز XRF پودر سنتز شده HA

ترکیب	درصد وزنی
CaO	۵۶/۱۷۶
P <sub>2</sub> O <sub>5</sub>	۴۳/۶۰۵
SO <sub>3</sub>	۰/۲۲
MgO	<<

## ۴- نتیجه‌گیری

نتایج آزمون‌های XRD و FTIR پودر سنتز شده HA بیان‌گر شکل‌گیری فاز HA کربناته با عملیات حرارتی پودر در دماهای بالای  $400^{\circ}\text{C}$  می‌باشد. بلورک‌های HA دارای ابعاد نانوسایز هستند و با افزایش دما رشد می‌کنند. آزمون STA نشان داد، HA سنتز شده پایداری حرارتی خوبی دارد و تا دمای  $1200^{\circ}\text{C}$  استحاله فازی برای آن مشاهده نمی‌گردد. با توجه به نتایج آنالیزهای فازی، عنصری و حرارتی و در نظر گرفتن سایر وقایع و احتمالات ذکر شده، عملیات حرارتی در دمای  $450^{\circ}\text{C}$  به مدت ۱۵ دقیقه و در اتمسفر هوا برای پوشش HA انتخاب گردید. آنالیزهای صورت گرفته بر روی پوشش HA نشان داد، سیکل عملیات حرارتی انتخاب شده باعث دستیابی به پوشش HA با خلوص بالا و مورفولوژی گل کلمی با مشخصات ساختاری نانومتری می‌گردد. تصاویر میکروسکوپی SEM نشان‌دهنده شکل‌گیری ساختاری چگال و مورفولوژی زبر برای پوشش HA بود. آزمون XRF نشان داد، عملیات حرارتی HA در سیکل انتخابی باعث تولید HA با خلوص بسیار بالا و نسبت کلسیم به فسفات  $1/۵۱$  می‌گردد. هم‌چنین مقادیر ترکیبات اکسید کلسیم و فسفر اندازه‌گیری شده بسیار نزدیک به مقادیر اندازه‌گیری شده در HA طبیعی می‌باشد. در نتیجه



- [15] C. F. Marques, S. Olhero, J.C.C. Abrantes, A. Marote, S. Ferreira, S.I. Vieira, and J.M.F. Ferreira, "Biocompatibility and antimicrobial activity of biphasic calcium phosphate powders doped with metal ions for regenerative medicine", Ceramics International, vol. 43 pp. 15719-15728, 2017
- [16] K. Kandori, A. Yasukawa, and T. Ishikawa, "Preparation and characterization of spherical calcium hydroxyapatite", Chemistry of materials, vol. 7, pp. 26-3, 1995
- [17] G. Bezzi, G. Celotti, E. Landi, T.M.G. La Torretta, I. Sopyan, and A. Tampieri, "A novel sol-gel technique for hydroxyapatite preparation", Materials Chemistry and Physics, vol 78, pp. 816-824. 2003
- [18] S. S. Rahavi, O. Ghaderi, A. Monshi, and M.H. Fathi, "A comparative study on physicochemical properties of hydroxyapatite powders derived from natural and synthetic sources", Russian Journal of Non-Ferrous Metals, vol. 58, pp. 276-286. 2017
- [19] M. Kulkarni, A. Mazare, P. Schmuki, and A. Iglič, "Biomaterial surface modification of titanium and titanium alloys for medical applications", in Nanomedicine, A. Seifalian, A.d. Mel, and D.M. Kalaskar, Editors, One Central Press: United Kingdom. 2014
- [20] K. Haberko, M. M. Bućko, J. Brzezińska-Miecznik, M. Haberko, W. Mozgawa, T. Panz, A. Pyda, and J. Zarębski, "Natural hydroxyapatite—its behaviour during heat treatment", Journal of the European Ceramic Society, vol. 26, pp. 537-542, 2006
- ChemTech Res., vol 7, pp. 1516-152, 2014
- [8] G. J. E. Poinern, R. Brundavanam, X. Thi Le, S. Djordjevic, M. Prokic, and D. Fawcett, "Thermal and ultrasonic influence in the formation of nanometer scale hydroxyapatite bio-ceramic", International journal of nanomedicine, vol. 6, pp. 2083-2095, 2011
- [9] G. J. Owens, R. K. Singh, F. Foroutan, M. Alqaysi, C.-M. Han, C. Mahapatra, H.-W. Kim, and J.C. Knowles, "Sol-gel based materials for biomedical applications", Progress in Materials Science, vol. 77, pp. 1-79, 2016
- [10] R. Drevet, N. Ben Jaber, J. Fauré, A. Tara, A. Ben Cheikh Larbi, and H. Benhayoune, "Electrophoretic deposition (EPD) of nano-hydroxyapatite coatings with improved mechanical properties on prosthetic Ti6Al4V substrates", Surface and Coatings Technology, vol. 301, pp. 94-99, 2016
- [11] T. Goto, T. Narushima, and K. Ueda, "Biological and biomedical coatings handbook-processing and characterization". Boca Raton: CRC, 2011
- [12] M.-F. Hsieh, L.-H. Perng, and T.-S. Chin, "Hydroxyapatite coating on Ti6Al4V alloy using a sol-gel derived precursor", Materials chemistry and physics, vol. 74, pp. 245-250, 2002
- [13] H. W. Kim, H. E. Kim, and J.C. Knowles, "Improvement of hydroxyapatite sol-gel coating on titanium with ammonium hydroxide addition", Journal of the American Ceramic Society, vol. 88, pp. 154-15, 2005
- [14] A. A. El Hadad, E. Peón, F.R. García-Galván, V. Barranco, J. Parra, A. Jiménez-Morales, and J.C. Galván, "Biocompatibility and Corrosion Protection Behaviour of Hydroxyapatite Sol-Gel-Derived Coatings on Ti6Al4V Alloy", Materials, vol. 10. pp. 1-25, 2017